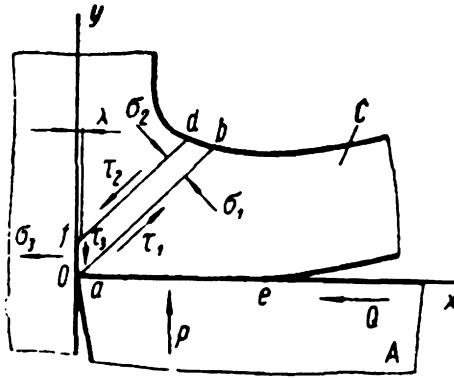


## Metalu pjovimo proceso lygčių tiesinė analizė

D. Švitra (KU, MII), J. Janutėnienė (KU)

Darbuose [1] ir [2] pateikta teorija paaiškinanti savaiminių autosvyravimų sužadimą staklėse pjaunant metalą, pateikti šią teoriją patvirtinantys eksperimentiniai duomenys.

Metalu apdirbimo pjovimu praktikoje dažnai tenka susidurti su pjovimo įrankio, detalės arba staklių mazgų autosvyravimais. Pagal [1] autosvyravimus apdirbant metalą pjovimu sukelia vėluojančios jėgos. Jėgų vėlavimo priežastis susijusi su metale vykstančių deformacijų ypatumais, kurių pasekoje peilio briauna ne pastoviai dalyvauja pjovimo procese nuimant drožlę, o tik įpjauna metalą, kuris vėliau dėl vykstančių deformacijų įtrūksta.



1 pav.

Esant mažiems sistemos svyravimams  $x$  kryptimi bei drožlės storio svyravimams, pjovimo jėga  $P$  (1 pav.) periodiškai susilaiko. Kadangi drožlės susidarymas pereina kelias stadijas, tai pjovimo jėgos  $P$  vėlavimas ir pačios jėgos  $P$  dydis kinta. Dėl antrinės plastinės deformacijos, kuri vyksta drožlei slenkant peiliu, trinties jėga  $Q$  vėluoja pjovimo jėgos  $P$  atžvilgiu. Esant pjovimo jėgos  $P$  vėlavimui nuo koordinatės  $x$  ir trinties jėgos  $Q$  vėlavimui nuo pjovimo jėgos  $P$ , galime užrašyti [1] sužadinto judėjimo lygtis:

$$\ddot{x}(t) + \frac{D(x)}{m_x} + \omega_x^2 x(t) = -\frac{fB}{m_x} x(t - \tau_p - \tau_Q), \quad (1)$$

$$\ddot{y}(t) + \frac{D(y)}{m_y} + \omega_y^2 y(t) = -\frac{B}{m_y} x(t - \tau_p). \quad (2)$$

Sistemoje (1)–(2) vėlavimai priklauso nuo ieškomų funkcijų, t.y.

$$\tau_p = \frac{l_p}{v_s + \dot{y}}; \quad \tau_Q = \frac{l_Q}{v_s + \dot{y} + \zeta \dot{x}}. \quad (3)$$

Čia  $l_p$  ir  $l_Q$  – vėlavimo kelias,  $v_s$  – pjovimo greitis. Linearizavus (1) lygtį, t.y. priimant  $x \equiv \text{const}$  ir  $y \equiv \text{const}$ , gaunama tiesinė dif. lygtis

$$\ddot{x}(t) + \frac{b_x}{m_x} \dot{x}(t) + \omega_x^2 x(t) + \frac{fB}{m_x} x(t - \frac{l_p + l_Q}{v_s}) = 0. \quad (4)$$

Čia  $\omega_x^2 = \frac{c_x}{m_x}$ ;  $c_x$  – standumo koeficientas,  $m_x$  – masės koeficientas,  $f$  – trinties

koeficientas,  $D(x) = b_x \dot{x}$  – disipacijos jėga.

$B = kb_c \varepsilon \delta^{\varepsilon-1}$  – santykinė pjovimo jėga,  $\delta$  – pjaunamos drožlės storis,  $\varepsilon$  – laipsnio rodiklis įvertinantis metalo savybes ir peilio formą,  $b_c$  – pjaunamos drožlės plotis,  $k$  – santykinis slėgis.

Lygties (4) charakteringas kvazipolinomas

$$P(\lambda) = \lambda^2 + a\lambda + b + ce^{-\lambda h_Q}, \quad (5)$$

$$\text{čia } a = \frac{b_x}{m_x}, \quad b = \omega_x^2, \quad c = \frac{fB}{m_x}, \quad h_Q = \frac{l_p + l_Q}{v_s}.$$

$D$  – suskaidymų metodu panagrinesime lygties (5) šaknų išsidėstymą parametrų  $b$  ir  $c$  plokštumoje. Lygtis (5) turi nulinę šaknį  $\lambda = 0$ , kai  $c = -b$ , tai viena iš  $D$  – suskaidymo kreivių. Panagrinesime kada (5) lygtis turi menamas šaknis. Įstatome  $\lambda = i\sigma$ .

$$(i\sigma)^2 + ai\sigma + b + ce^{-i\sigma h_Q} = 0,$$

atskiriame realią ir menamą dalį

$$\begin{cases} -\sigma^2 + b + c \cos(\sigma h_Q) = 0, \\ a\sigma - c \sin(\sigma h_Q) = 0, \end{cases}$$

po pertvarkymų gauname likusių  $D$ -suskaidymo kreivių lygtis parametrinėje formoje

$$\begin{cases} c = \frac{a\sigma}{\sin(\sigma h_Q)}, \end{cases} \quad (6)$$

$$\begin{cases} b = \sigma^2 - a\sigma \operatorname{tg}(\sigma h_Q), \end{cases} \quad (7)$$

kai  $\sigma \rightarrow 0$  iš (6) ir (7) lygčių nustatome grįžtamąjį tašką, kurio koordinatės:

$$\lim_{\sigma \rightarrow 0} b = -\frac{a}{h_Q} ; \quad \lim_{\sigma \rightarrow 0} c = \frac{a}{h_Q} .$$

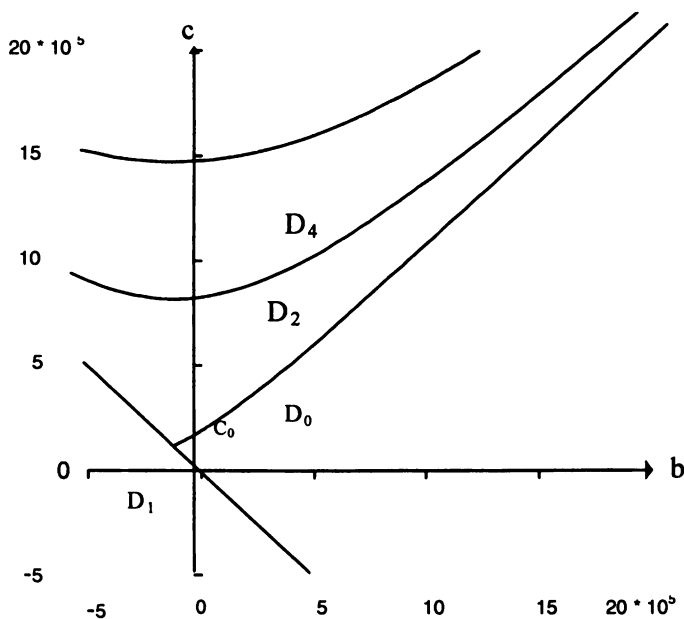
Pagal [3, 4] iš eksperimentinių rezultatų apskaičiuojame koeficientų  $a$  ir  $h_Q$  skaitines reikšmes. Pasirinktas pjovimo greitis  $v_s = 140$  m/min, pjovimo jėgos  $P$  vėlavimo kelias  $l_p = 0,35$  mm, trinties jėgos  $Q$  vėlavimo kelias  $l_Q = 0,32$  mm,  $c_x = 400$  kg/mm,  $m_x = 4,64 \times 10^{-4}$  kgs<sup>2</sup>/mm,  $b_x = 0,0118$  kgs/mm.

Gauname  $a = 25$  s<sup>-1</sup>,  $h_Q = 2,87 \times 10^{-4}$  s. Įstatę gautas reikšmes į (6) ir (7) formules gauname  $D$ -suskaidymą  $b$  ir  $c$  parametrų plokštumoje, kuris pateiktas 2 paveiksle.

Pažymėsime, kad taikant jį konkrečiam pjovimo procesui prasmę turi tik teigiamos parametrų  $b$  ir  $c$  reikšmės. Iš išskirtų  $D$ -suskaidymo sričių mus domina asimptotinio stabilumo sritis  $D_0$  bei sritys  $D_2$  ir  $D_4$  apibūdinančios autosvyravimus galinčius atsirasti pjovimo proceso metu.

1. Tegul  $c = 0$ ,  $a > 0$ ,  $b > 0$ . Tada kvazipolinomas (5) turi dvi neigiamas realias šaknis.

2. Tegul  $c = 0$ ,  $a > 0$ ,  $b < 0$ . Šiuo atveju kvazipolinomas (5) turi vieną teigiamą ir vieną neigiamą realias šaknis.



2 pav.  $D$ -suskaidymas parametrų  $c$  ir  $b$  plokštumoje

Tokiu būdu parametrų  $b$  ir  $c$  plokštumoje išskiriame asimptotinio stabilumo sritį  $D_0$  ir sritį  $D_1$ , kur kvazipolinomas (5) turi vieną šaknį su teigiama realia dalimi, o kitų šaknų realios dalys yra neigiamos (2 pav.). Tai seka iš  $D$ -suskaidymų metodo esmės.

3. Tegul  $b = 0$ ,  $a > 0$ . Tada su

$$c_0 = \sigma_0 \sqrt{a^2 + \sigma_0^2}, \quad (8)$$

kur  $\sigma_0$  – vienintelė lygties

$$\operatorname{ctg} \sigma h_Q = \frac{\sigma}{a} \quad (9)$$

šaknis intervale  $(0, \pi/2h_Q)$ , kvazipolinomas (5) turi porą menamų šaknų  $\pm i\sigma_0$ , o kitų šaknų realios dalys yra neigiamos.

**LEMA.** Kai  $b = 0$ ,  $a > 0$  ir  $c > c_0$  kvazipolinomas turi porą kompleksiskai sujungtinių šaknų su teigiama realia dalimi, o kitų šaknų realios dalys yra neigiamos.

Iš tikrųjų, pažymėsime  $c = c + \varepsilon$  ir  $\lambda(\varepsilon) = \tau(\varepsilon) \pm i\sigma(\varepsilon)$ .

Tada  $\tau(0) = 0$ ,  $\sigma(0) = \sigma_0$ .

Reikia parodyti, kad

$$\tau'_0 = \left. \frac{d}{d\varepsilon} \tau(\varepsilon) \right|_{\varepsilon=0} > 0. \quad (10)$$

Iš tapatybės

$$P[\lambda(\varepsilon); \varepsilon] = 0,$$

kur  $P(\lambda)$  – kvazipolinomas (5), gauname, kad

$$\tau'_0 = -\operatorname{Re} \frac{P'_{0\varepsilon}}{P'_{0\lambda}}, \quad (11)$$

kur  $P'_{0\varepsilon} = P'_\varepsilon(\lambda; \varepsilon)$ ,  $P'_{0\lambda} = P'_\lambda(\lambda; \varepsilon)$ ,  $\varepsilon = 0$ ,  $\lambda = i\sigma_0$ . Kadangi  $i\sigma_0$  yra kvazipolinomo (5) šaknis su  $c = c_0$  ir  $b = 0$ , tai iš čia gauname, kad

$$\tau'_0 = \frac{\sigma_0^2 [a + h_Q (\sigma_0^2 + a^2)]}{c_0 |P'_{0\lambda}|^2}. \quad (12)$$

Akivaizdu, kad  $\tau'_0 > 0$ . Lema įrodyta.

Tokiu būdu išskyrėme sritį  $D_2$ . Analogiškai išskiriame sritis  $D_3, D_4, \dots$

Apie žalingų autosvyravimų atsiradimą pjovimo proceso metu ir jų pobūdį galima spręsti tik atlikus netiesinę analizę.

**LITERATŪRA**

- [1] М.Э. Ельясберг. Об устойчивости процесса резания металлов. "Известия АН СССР, ОНТИ", Nr. 9, 1958.
- [2] М.Э. Ельясберг. Расчет металлорежущих станков на устойчивость процесса резания. "Станки и инструмент". Nr.3, 1959.
- [3] Stefan Ostholm. Simulering och Identifiering av skareggars mekaniska belastningsbild. Institutionen for mekanisk teknologi och verktysmaskiner lunds tekniska horskola.1991.
- [4] М.Э. Ельясберг. О расчете устойчивости процесса резания с учетом предельного цикла системы. "Станки и инструмент". Nr., 1975.
- [5] М.Э. Ельясберг. Основы теории автоколебаний при резании металлов. "Станки и инструмент". Nr.10, 1962.
- [6] 6.Ю. Колесов, Д. Швitra Автоколебания в системах с запаздыванием. Вильнюс. 1979.

**Linear analysis of equations of process treatment metals**

*D. Švitra, J. Janutėniene*

Linear analysis of equations describing treatment process of metals by cutting is presented. The analysis is based method on *D*-expansion method. There is choose af areas of asymptotically stability as well as areas describing harmful autooscillations arising during the treatment of metals by cutting is discussed.